

ruhende Wirkung angegeben sind; rasch bewegte müssen geschmiert werden. Das Wesen der Schmierung ist, die große Reibung zwischen festen Körpern durch die geringere Flüssigkeitsreibung zwischen den Teilchen des Schmiermittels zu ersetzen. Das Schmiermittel darf nicht verdrängt werden; deswegen sind nur geringere, von den Betriebsverhältnissen und der Art des Schmiermittels abhängige Flächendrücke zulässig, für welche bei den Zapfen, Lagern, Schrauben usw. Einzelwerte angegeben sind.

VI. Biegefestigkeit.

Der Fall der Biegung liegt vor, wenn die äußeren Kräfte in bezug auf den Stabquerschnitt ein Kräftepaar bilden, dessen Ebene durch die Stabachse geht. Bei dem an seinem

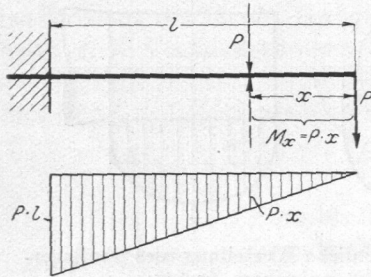


Abb. 29. Freitragler, durch Einzelkraft belastet, darunter Momentenfläche.

Ende durch die Einzelkraft P belasteten Freitragler, Abb. 29, läßt sich das Kräftepaar nachweisen, wenn man in einem beliebigen Querschnitte im Abstände x vom Ende die Kraft P gleich- und entgegengesetzt gerichtet anbringt. Dadurch wird das Gleichgewicht nicht gestört, aber die Inanspruchnahme zurückgeführt auf ein Kräftepaar, das Biegemoment, $M_x = P \cdot x$ und eine Einzelkraft P , die den Querschnitt auf Schub in Anspruch nimmt. Die letztere kann meist vernachlässigt werden und gewinnt erst bei verhältnismäßig kurzer Länge des Freitragers Bedeutung.

Die Biegemomente wachsen verhältnismäßig mit der Entfernung x ; sie können mithin durch die dreieckige Momentenfläche, Abb. 29, dargestellt werden, in welcher die Ordinaten die zu den einzelnen Querschnitten gehörigen Biegemomente angeben. Das größte Moment $M_{\max} = P \cdot l$ entsteht an der Einspannstelle. Für die am häufigsten vorkommenden Belastungsfälle sind die Momente und ihre Verteilung in der folgenden Zusammenstellung enthalten.

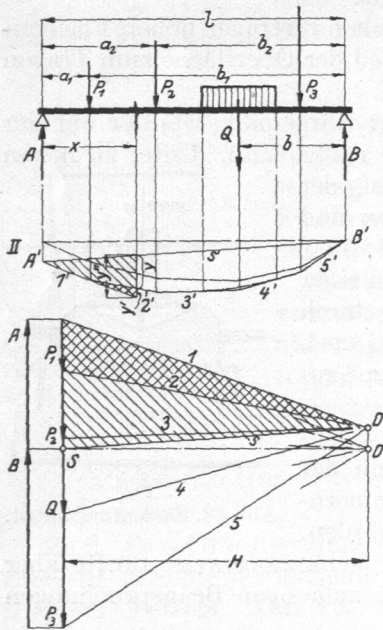


Abb. 30. Ermittlung der Biegemomente.

A. Ermittlung der Biegemomente, der Momentenflächen und der Biegespannungen.

An einem beliebig belasteten Träger, Abb. 30, bestimmt man das Biegemoment M_x für den Querschnitt im Abstände x vom linken Lager rechnerisch, indem man zunächst einen der Auflagerdrücke A oder B ermittelt. Z. B. ergibt die Momentengleichung um den Punkt B

$$A = \frac{P_1 b_1 + P_2 \cdot b_2 + \dots + Q \cdot b}{l}$$

M_x ist dann durch die algebraische Summe der Momente der äußeren Kräfte links oder rechts vom Querschnitt x dargestellt:

$$M_x = Ax - P_1(x - a_1).$$

Zeichnerisch wird die Momentenfläche, Abb. 30, wie folgt gefunden. Nachdem die gleichmäßig verteilte Last Q durch eine Mittelkraft ersetzt ist, trägt man die Kräfte der Reihe nach untereinander auf der Kraftlinie in irgendeinem Maßstabe an und wählt einen Pol O in einem beliebigen Abstände H . Die von O aus nach den Endpunkten der Kräfte gezogenen Geraden $1 \dots 5$ bilden zusammen mit der Kraftlinie das Krafteck I und heißen Polstrahlen. Parallel zu ihnen laufen die Seilstrahlen $1' \dots 5'$,

die zum Seilzug *II* führen. Ihre Schnittpunkte liegen unter derjenigen Kraft, welche die entsprechenden Polstrahlen im Kraffteck einschließen. So schneiden sich die Seilstrahlen *2'* und *3'* unter der Kraft *P*₂, die von den Polstrahlen *2* und *3* eingefasst ist. Die Verbindungslinie der senkrecht unter den Auflagern *A* und *B* auf den äußersten Seilstrahlen liegenden Punkte *A'* und *B'* ist die Schlußlinie *s'* des Seilzuges. Sie liefert die Größe der Auflagerkräfte *A* und *B* im Kraffteck, wenn man die Parallele *s* zu *s'* durch *O* bis zum Schnitt *S* mit der Kraftlinie zieht. *B* ist von *s* und *5* eingeschlossen, da sich *s'* und *5'* unter dem Stützpunkte *B* schneiden, *A* von *s* und *1*. Die Ordinaten des Seilzuges stellen nun die zu den einzelnen Querschnitten gehörenden Biegemomente dar. Das Seileck ist also zugleich Momentenfläche. Denn zur Abszisse *x* gehört das Moment $M_x = A \cdot x - P_1(x - a_1)$, während sich die entsprechende Ordinate *y* der Momentenfläche als Differenz von *y''* - *y'* ausdrücken läßt. Für diese folgt aus der Ähnlichkeit der gleichartig gestrichelten Dreiecke:

$$\frac{y''}{x} = \frac{A}{H}, \quad \frac{y'}{x - a_1} = \frac{P_1}{H}; \quad y'' \cdot H = A \cdot x, \quad y' \cdot H = P_1(x - a_1)$$

und

$$y \cdot H = (y'' - y')H = A \cdot x - P_1(x - a_1) = M_x,$$

so daß

$$M_x = y \cdot H \tag{24}$$

wird.

Da aber der Polabstand *H* ein Festwert ist, so wachsen die Biegemomente verhältnismäßig den Ordinaten *y* der Momentenfläche. Zu ihrer zahlenmäßigen Ermittlung ist eine der Größen *y* und *H* im Längenmaßstabe *m*_l, die andere im Kräftemaßstab *m*_k zu messen.

Die gleichmäßige Verteilung der Last *Q* auf einer größeren Strecke bedingt eine Verringerung der Momente, die durch parabolische Ausrundung des Seilzuges unter *Q*, Abb. 30, berücksichtigt werden kann.

Bei der ersten Wahl des Pols wird die Schlußlinie im allgemeinen eine Neigung erhalten. Ist ein wagrechter Verlauf derselben, etwa zur Ermittlung der Neigungswinkel der elastischen Linie bei Wellenuntersuchungen erwünscht, so braucht der neue Pol *O'* nur auf einer Wagerechten durch *S* senkrecht unter oder über dem früheren Pol *O* gewählt zu werden. Damit würde sich der gestrichelte Seilzug ergeben.

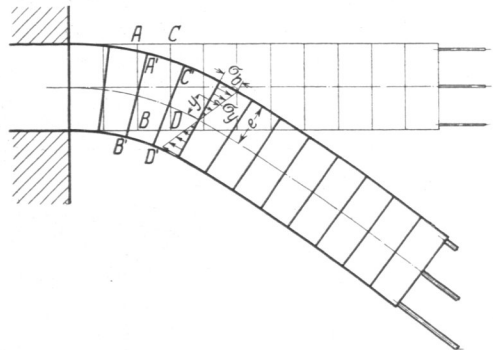
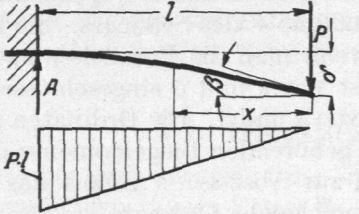
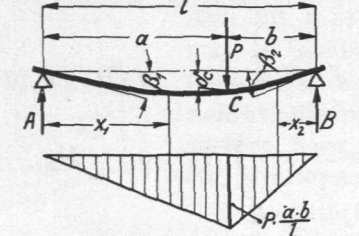
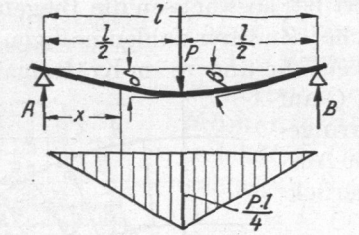
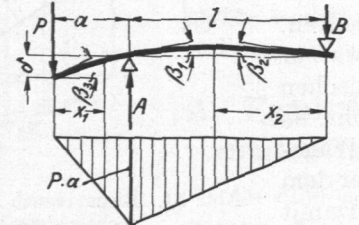
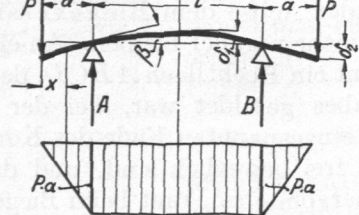
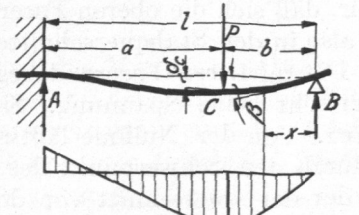


Abb. 31. Biegeversuch an einem Gummikörper rechteckigen Querschnitts.

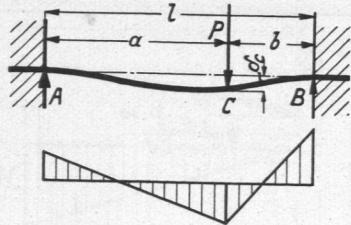
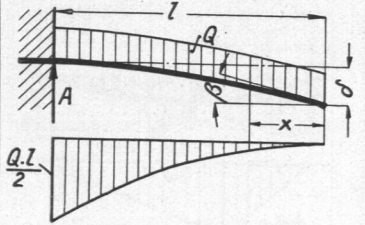
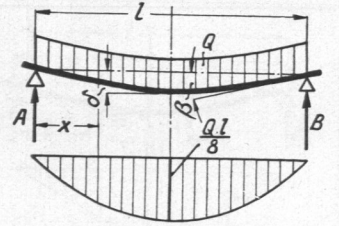
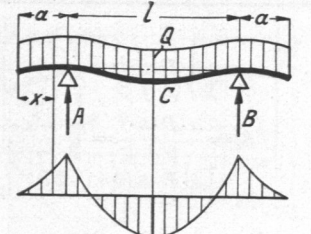
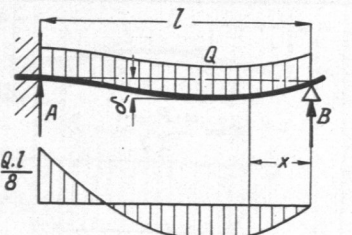
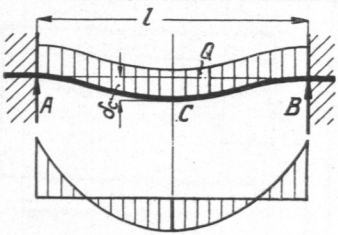
Unterwirft man einen Stab mit gerader Achse dem Biegeversuch, so zeigt sich, daß seine Querschnitte eben, aber nicht mehr parallel bleiben. An einem Gummikörper rechteckigen Querschnitts, Abb. 31, nimmt ein Rechteck *ABCD*, das durch zwei Querschnitte des unbelasteten, geraden Stabes gebildet war, bei der Biegung Keilform *A'B'C'D'* an. Von drei Drähten, die am eingespannten Ende des Körpers ebenfalls festgehalten, im übrigen aber in Bohrungen frei beweglich sind, und die im unbelasteten Zustande gleich weit aus der Endfläche hervorstehen, ragt beim Biegen des Körpers nur der mittlere noch eben so weit heraus. Der obere hat sich zurückgezogen, der untere ist weiter hervorgetreten, ein Beweis dafür, daß sich die oberen Fasern des Körpers verlängert, die unteren verkürzt haben, daß also in den Stabquerschnitten gleichzeitig Zug- und Druckspannungen vorhanden sind. Die mittleren Fasern dagegen haben ihre ursprüngliche Länge behalten; in ihnen herrscht keine Spannung. Sie bilden im Querschnitt die Nulllinie oder neutrale Faser. Von der Nulllinie läßt sich zeigen, daß sie bei reiner Beanspruchung auf Biegung durch den Schwerpunkt des Querschnitts geht und senkrecht zur Kraftlinie steht, in der der Querschnitt von der Biegemomentenebene getroffen wird, vorausgesetzt, daß diese mit einer der Hauptachsen des Querschnitts

Zusammenstellung 5. Die wichtigsten Fälle

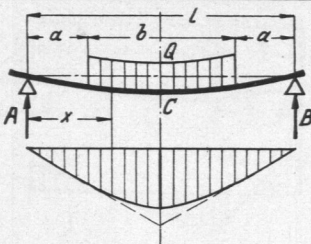
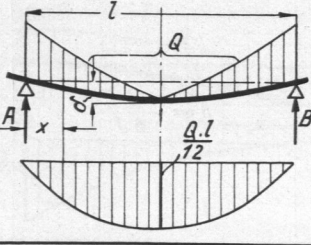
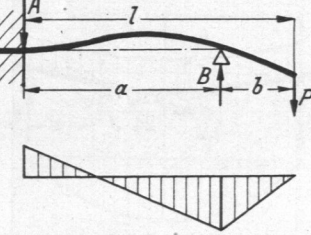
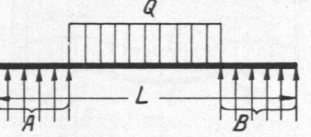
Lfde. Nr.	Belastungsfall	Auflagerdrücke	Biegemomente M_x
1	Freitträger, am Ende belastet 	$A = P$	$M_x = P \cdot x$
2	Träger auf 2 Stützen, dazwischen belastet 	$A = \frac{P \cdot b}{l}; B = \frac{P \cdot a}{l}$	$M_{x_1} = A \cdot x_1$ $M_{x_2} = B \cdot x_2$
3	Träger auf 2 Stützen, in der Mitte belastet 	$A = B = \frac{P}{2}$	$M_x = \frac{P}{2} \cdot x$
4	Träger auf 2 Stützen, außerhalb belastet 	$A = \frac{P(a+l)}{l}$ $B = \frac{P \cdot a}{l}$	$M_{x_1} = P \cdot x_1$ $M_{x_2} = B \cdot x_2$
5	Kragträger auf 2 Stützen, an beiden Enden symmetrisch belastet 	$A = B = P$	$M_x = P \cdot x$
6	An einem Ende eingespannter, am anderen Ende gestützter Träger 	$A = \frac{P(2b^2+6ab+3a^2)b}{2l^3}$ $B = \frac{Pa^2(2a+3b)}{2l^3}$	$M_x = B \cdot x$

der Inanspruchnahme auf Biegung.

Biegemomente M_{\max}	Durchbiegung δ	Neigungswinkel der elastischen Linie	Bemerkungen
$M_{\max} = P \cdot l$ an der Einspannstelle	$\delta = \frac{\alpha \cdot P \cdot l^3}{3 \cdot J}$	$\beta = \frac{\bar{\alpha} \cdot P \cdot l^2}{2J}$	—
$M_{\max} = \frac{P \cdot a \cdot b}{l}$ in C	$\delta_c = \frac{\alpha \cdot P \cdot a^2 \cdot b^2}{3J \cdot l}$	$\beta_1 = \frac{\alpha \cdot P \cdot a \cdot b (a + 2b)}{6J \cdot l}$ $\beta_2 = \frac{\alpha \cdot P \cdot a \cdot b (2a + b)}{6J \cdot l}$	—
$M_{\max} = \frac{P \cdot l}{4}$	$\delta = \frac{\alpha \cdot P \cdot l^3}{48 \cdot J}$	$\beta = \frac{\alpha \cdot P \cdot l^2}{16 \cdot J}$	—
$M_{\max} = P \cdot a$ über A	Am freien Ende: $\delta = \frac{\alpha \cdot P \cdot a^2 (a + l)}{3J}$	$\beta_1 = \frac{\alpha \cdot P \cdot a \cdot l}{3 \cdot J}$ $\beta_2 = \frac{\alpha \cdot P \cdot a \cdot l}{6J} = \frac{\beta_1}{2}$ $\beta_3 = \frac{\alpha \cdot P \cdot a (3a + 2l)}{6J}$	—
$M_{\max} = P \cdot a$ zwischen A und B	$\delta_1 = \frac{\alpha \cdot P \cdot l^2 \cdot a}{8 \cdot J}$ $\delta_2 = \frac{\alpha \cdot P}{J} \left(\frac{a^3}{3} + \frac{a^2 \cdot l}{2} \right)$	$\beta = \frac{\alpha \cdot P \cdot a \cdot l}{2J}$	Elastische Linie zwischen A und B: Kreisbogen vom Halbmesser $\rho = \frac{J}{\alpha \cdot P \cdot a}$
Einspannungsmoment $M_A = -\frac{P \cdot a \cdot b (a + 2b)}{2l^2}$ Moment in C $M_C = \frac{P \cdot a^2 \cdot b (2a + 3b)}{2l^3}$	$\delta_c = \frac{\alpha \cdot P \cdot a^3 \cdot b^2 (3a + 4b)}{12 \cdot J^3}$	—	$M_A = M_C$ für $a = 1,41 \cdot b$

Lfde. Nr.	Belastungsfall	Auflagerdrücke	Biegemomente M_x
7	Beiderseits eingespannter Träger 	$A = \frac{P \cdot (3a + b) \cdot b^2}{l^3}$ $B = \frac{P \cdot (a + 3b) \cdot a^2}{l^3}$	$M_A = \frac{P \cdot a \cdot b^2}{l^2}$ $M_C = \frac{2P \cdot a^2 \cdot b^2}{l^3}$
8	Freiträger, gleichmäßig belastet 	$A = Q$	$M_x = \frac{Q \cdot x^2}{2l}$
9	Träger auf 2 Stützen, gleichmäßig belastet 	$A = B = \frac{Q}{2}$	$M_x = \frac{Q \cdot x}{2} \left(1 - \frac{x}{l}\right)$
10	Kragträger auf 2 Stützen, gleichmäßig belastet 	$A = B = \frac{Q}{2}$	$M_x = \frac{Q \cdot x^2}{2(l + 2a)}$
11	An einem Ende eingespannter, am andern gestützter Träger, gleichmäßig belastet 	$A = \frac{5}{8} Q$ $B = \frac{3}{8} Q$	$M_x = B \cdot x - \frac{Q \cdot x^2}{2}$ $= \frac{Q}{2} \left(\frac{3}{4} x + \frac{x^2}{l}\right)$
12	Beiderseits eingespannter Träger, gleichmäßig belastet 	$A = B = \frac{Q}{2}$	$M_C = \frac{1}{24} Q \cdot l$

Biegemomente M_{\max}	Durchbiegung	Neigungswinkel der elastischen Linie	Bemerkungen
$M_{\max} = M_B$ $= \frac{P \cdot a^2 \cdot b}{l^2}$	$\delta_c = \frac{\alpha P a^3 \cdot b^3}{3 J \cdot l^3}$	—	—
$M_{\max} = \frac{Q \cdot l}{2}$ an der Einspannstelle	$\delta = \frac{\alpha \cdot Q \cdot l^3}{8 J}$	$\beta = \frac{\alpha \cdot Q \cdot l^2}{6 J}$	—
$M_{\max} = \frac{Q \cdot l}{8}$ in der Mitte	$\delta = \frac{5}{384} \cdot \frac{\alpha \cdot Q \cdot l^3}{J}$	$\beta = \frac{\alpha \cdot Q \cdot l^2}{24 \cdot J}$	—
$M_A = M_B = \frac{Q \cdot a^2}{2(l + 2a)}$ $M_C = \frac{Q}{4} \left(a - \frac{l}{2} \right)$	—	—	$M_A = M_B = -M_C \text{ für}$ $a = \frac{l}{\sqrt{8}} = 0,354 l$
Einspannungsmoment $M_A = \frac{Q \cdot l}{8}$	$\delta = \frac{\alpha \cdot Q \cdot l^3}{185 J}$	—	—
Einspannungsmoment $M_A = M_B = \frac{1}{12} Q \cdot l$	$\delta_c = \frac{\alpha \cdot P \cdot l^3}{384 J}$	—	—

Lfd. Nr.	Belastungsfall	Auflagerdrücke	Biegemomente M_x
13	Träger auf 2 Stützen, im mittleren Teil gleichmäßig belastet 	$A = B = \frac{Q}{2}$	$M_x = \frac{Q}{2} \left(x - \frac{(x-a)^2}{b} \right)$
14	Träger auf 2 Stützen, durch dreieckförmig verteilte Last beansprucht 	$A = B = \frac{Q}{2}$	$M_x = Q \cdot x \left(\frac{1}{2} \frac{x}{l} + \frac{2}{3} \frac{x^2}{l^2} \right)$
15	Träger an einem Ende eingespannt, am andern gestützt, außen belastet 	$A = \frac{3}{2} P \frac{b}{a}$ $B = \frac{P \cdot (2a + 3b)}{2a}$	$M_A = \frac{P \cdot b}{2}$
16	Körper auf 2 Stützen, Last und Auflagerdruck gleichmäßig verteilt 	$A = B = \frac{Q}{2}$	—

zusammenfällt. Das letztere trifft immer zu, wenn der Querschnitt symmetrisch zur Kraftlinie ausgebildet ist. Unter der Annahme der Verhältnissgleichheit zwischen Dehnungen und Spannungen nehmen diese geradlinig mit der Entfernung von der Nulllinie zu und erreichen im Abstände y die Größe

$$\sigma_y = \frac{M_b}{J} \cdot y, \quad (25)$$

wenn J das auf die Nulllinie bezogene Trägheitsmoment des Querschnittes bedeutet. Die größte Spannung tritt in den von der Nulllinie am weitesten entfernten Fasern im Abstände e ein und ist

$$\sigma_{\max} = \sigma_b = \frac{M_b}{J} \cdot e. \quad (26)$$

$\frac{J}{e}$ wird als Widerstandsmoment W bezeichnet, so daß schließlich

$$\sigma_{\max} = \sigma_b = \frac{M_b}{W} \quad (27)$$

wird. Die Spannungsverteilung ist also durch überschlagene Dreiecke gegeben, wie sie u. a. Abb. 34 für mehrere Querschnitte zeigt.

Überschreitet die größte Spannung bei zähen Stoffen die Fließgrenze, so treten bleibende Durchbiegungen auf. Bei spröden ist der Bruch zu erwarten, wenn in den

Biegemomente M_{\max}	Durchbiegung	Neigungswinkel der elastischen Linie	Bemerkungen
$M_{\max} = M_c = \frac{Q}{2} \cdot \left(\frac{l}{2} - \frac{b}{4} \right)$	—	—	—
$M_{\max} = \frac{Q \cdot l}{12}$ in der Mitte	$\delta = \frac{3}{320} \cdot \frac{\alpha \cdot Q \cdot l^3}{J}$	—	—
$M_B = P \cdot b$	—	—	—
$M_{\max} = \frac{Q \cdot L}{8}$ in der Mitte	—	—	—

äußersten Fasern die Festigkeit des Baustoffes, in der Regel die Zugfestigkeit, erreicht wird.

Geht man von der zulässigen Beanspruchung auf Biegung k_b aus, so wird das nötige Widerstandsmoment

$$W = \frac{M_b}{k_b}. \tag{28}$$

B. Trägheits- und Widerstandsmomente.

Die Trägheits- und Widerstandsmomente der wichtigsten Querschnitte sind in der folgenden Zusammenstellung, bezogen auf die durch NN gekennzeichneten Nulllinien, enthalten. Zusammengesetzte Querschnitte, deren Trägheitsmoment für eine beliebige Achse, z. B. in bezug auf die Nulllinie NN , Abb. 32, zu ermitteln ist, zerlegt man in Teile, deren Inhalte $f_1, f_2 \dots$ und Trägheitsmomente J_1, J_2, \dots um die zu NN parallelen Schwerachsen leicht bestimmbar sind. Dann ergibt sich das Trägheitsmoment des gesamten Querschnitts aus

$$J = J_1 + a_1^2 \cdot f_1 + J_2 + a_2^2 \cdot f_2 + \dots,$$

wenn $a_1, a_2 \dots$ die Abstände der Schwerlinien der Teilquerschnitte von NN bedeuten.

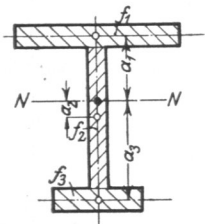


Abb. 32. Zur Ermittlung des Trägheitsmoments.